

مدل‌سازی آبدهی روزانه چشمۀ کارستی طی دوره فروکش جریان با استفاده از روش‌های تحلیلی (مطالعه موردی: چشمۀ علی دامغان)

سید موسی حسینی* – استادیار دانشکده جغرافیا، دانشگاه تهران
اکرم عیوضی – دانشجوی کارشناسی ارشد ژئومورفولوژی، دانشگاه تهران

تأیید نهایی: ۱۳۹۲/۰۴/۲۱ پذیرش مقاله: ۱۳۹۲/۰۴/۲۰

چکیده

در این پژوهش، مدل تجربی Coutagne و مدل Mangin به منظور مدل‌سازی دبی روزانه چشمۀ علی دامغان در طول دوره فروکش مورد استفاده قرار گرفت. برای این منظور داده‌های روزانه دبی چشمۀ مورد مطالعه طی نه سال متوالی (از سال ۱۳۸۸ تا ۱۳۸۰) اخذ و بکار گرفته شد. روش اول، بر اساس تئوری جداسازی جریان سریع که در قسمت غیراشباع آبخوان به صورت موقت ناشی از تغذیه سطحی ذخیره شده از جریان پایه که در تشکیلات کارستی آبخوان مطابق با تئوری Maillet وجود دارد، استوار است. در حالی که روش دوم، منحنی فروکش را پاسخ سیستم تک مخزنی آبخوان به محرك ورودی (بارندگی) درنظر می‌گیرد. نتایج روش Mangin در مورد چشمۀ علی دامغان نشان داد که درصد مشارکت حجم جریان سریع در مقایسه با جریان پایه آبخوان کارستی از حجم کل جریان، بسیار اندک ($0/5\%$) می‌باشد که نشان‌دهنده درجه بالای توسعه یافته‌ی بخش غیراشباع این آبخوان نسبت به بخش پائینی و غالب بودن سیستم افسان بخش اشباع آبخوان است. حجم جریان ذخیره شده در آبخوان کارستی که توسط روش Mangin (با متوسط خطای 5%) به دست آمده است، از خطای کمتری نسبت روش Coutagne (با متوسط خطای 23%) برخوردار است. در حالی که مقادیر پیش‌بینی شده دبی جریان در طول منحنی فروکش توسط روش Coutagne و $RMSE=0/80$ و $R^2=0/08$ (درجه دقت بالاتری نسبت به روش Mangin (44% و $RMSE=0/40$ و $R^2=0/45$)) دارد. نتایج این تحقیق نشان داد که به منظور پیش‌بینی جریان روزانه چشمۀ کارستی طی دوره فروکش، روش Coutagne نسبت به روش Mangin از این نظر که لازم به تفکیک جریان‌های سریع و پایه چشمۀ طی دوره فروکش نمی‌باشد و همچنین به دلیل سادگی ساختار مدل و اینکه تنها به یک پارامتر وابسته است و در نتیجه به محاسبات کمتری نیازمند است، دارای ارجحیت می‌باشد.

وازگان کلیدی: منحنی فروکش، چشمۀ علی دامغان، آبخوان کارستی، مدل‌سازی جریان، روش Coutagne روش Mangine

مقدمه

حدود ۲۵ درصد از منابع آب‌های زیرزمینی جهان در تشکیلات کارستی ذخیره شده است و به عنوان یکی از منابع مهم تأمین‌کننده نیازهای آبی بر روی کره زمین شناخته شده‌اند (Ford and Williams, 2007, 374). در ایران نیز حدود ۱۱ درصد از وسعت کشور را نواحی کارستی تشکیل می‌دهد. بیش از ۸۰٪ منابع آب استان‌هایی مانند فارس و کرمانشاه از این منابع استحصال می‌شود. منابع آبی کارست به علت قرار گرفتن در نواحی مرتفع، تقریباً دور از آلودگی‌های انسانی هستند و ارزان بودن هزینه استحصال آب از آن‌ها نسبت به سدهای مخزنی توجه بیشتر بهره‌برداران از این منابع را موجب می‌شود (افراسیابیان، ۱۳۷۲، ۹۵).

آبخوان‌های کارستی، مخازن زیرزمینی به شدت ناهمگنی هستند که آب در شبکه‌های مرتبط به هم شکاف‌ها و مجاري درون آن‌ها جمع‌آوری می‌شوند. ناهمگی این تشکیلات عمده‌تاً به دلیل دوگانه و یا حتی سه‌گانه بودن تخلخل در این تشکیلات و همچنین تغییرات زیاد نفوذپذیری در جریان‌های افسان و مجرای آن می‌باشد. همچنین سطح ایستابی در این آبخوان‌ها یک سطح پیوسته نیست و دارای شیب منطقه‌ای و محلی است. به طور کلی آب زیرزمینی تمام آبخوان‌ها به طرف سطح فرسایشی تمایل و شیب‌دارند و زهکشی می‌شوند (Padilla et al., 1994, 114). سنگ‌های آهکی که محل شکل‌گیری آبخوان‌های کارستی می‌باشند، در مراحل اولیه تشکیل، تخلخل و نفوذپذیری کمی دارند، ولی بعداً بر اثر عوامل تکتونیکی، درز و شکاف و گسل‌هایی به وجود می‌آید که همراه با آب باران در آن‌ها انحلال ایجاد می‌شود و در نتیجه اشکال مناطق کارستی را به وجود می‌آورند (Milanovic, 1981, 223).

هیدروگراف جریان خروجی از آبخوان کارستی که عموماً در قالب چشم‌هایی باشند، تصویر روشنی از پاسخ تشکیلات کارستی را در مقابل محرك‌های ورودی که شامل تغذیه از سطح زمین می‌باشد به دست می‌دهد (Bonacci, 1987, 208). شکل منحنی فروکش جریان چشم‌های اندازه و حجم آبخوان کارستی و مشخصات هیدرودینامیک آبخوان مانند نرخ تغذیه از سطح به منطقه غیراشباع آبخوان و همچنین نرخ جریان عوری در منطقه اشباع آن می‌باشد (Soulios, 1991). تفاوت اساسی جریان چشم‌های کارستی نسبت به چشم‌هایی که از آبخوان‌های آبرفتی منشأ می‌گیرند، به دلیل متأثر بودن جریان خروجی تشکیلات کارستی از شبکه آبراهه‌های زیرزمینی با سرعت بالا (جریان سریع) که در بخش غیراشباع خاک ذخیره‌شده‌اند و جریان پایه (جریان کند) که در ماتریس کربناته آبخوان با درجه کارستی بالا وجود دارند، است (Atkinson, 1977). به منظور شبیه‌سازی پاسخ هیدرولوژیکی یک آبخوان کارستی در برابر محرك ورودی آن، محققین سه نوع رویکرد روابط تجربی، مدل‌های مفهومی و فیزیکی را مورد استفاده قرار می‌دهند (Estrela and Sahuquillo, 1997).

مطالعات متعددی بر روی ویژگی‌های هیدروژئولوژی و هیدروشیمیایی جریان خروجی از چشم‌های کارستی کشور و تغییرات زمانی آن‌ها در طول سال از طریق نمونه‌برداری از آب چشم‌های انجام شده است. به عنوان مثال، کریمی و ردنجانی (۱۳۸۴)، روی چشم‌های آهکی موگرمن و سرآسیاب در شهرستان دهدشت مطالعه کرده است. وی برای بررسی‌ها از نمونه‌برداری‌های ماهانه استفاده کرده و آنالیز هیدروشیمیایی و سنجش میزان آب دهی را به طور همزمان انجام داده است. نتایج مشخص کرد که چشم‌های مذکور از سازند آهکی سروک تغذیه می‌گردند و دارای سیستم مجرایی افسان می‌باشند و درصد جریان مجرایی در چشم‌های موگرمن بیشتر از چشم‌های سرآسیاب می‌باشد. همچنین به نظر می‌رسد سیستم مذکور دارای یک رژیم جداگانه ناشی از ذوب برف می‌باشد. شفیعی مطلق و لشکری‌پور (۱۳۸۷)، برای اولین بار روی چشم‌های کارستی کورسا در جنوب غربی مطالعه کرده‌اند. ایشان برای بررسی‌های هیدروژئولوژیکی سفره کارستی آبدار منطقه و برآورد حجم دینامیکی چشم‌های، آبنمود روزانه و نزوالت سالیانه و بررسی‌های هیدروشیمیایی را مورد استفاده قرارداده‌اند، و اقدام به نمونه‌برداری نیز نموده‌اند. نتیجه مطالعات این است که سفره آبدار این چشم‌های از نوع مجرایی افسان می‌باشد. جوکار سرهنگی و همکاران (۱۳۸۸) به منظور بررسی عوامل موثر در چشم‌های کارستی و آبرفتی و

مقایسه آن‌ها، ۸۰ چشمه کارستی را در ارتفاعات البرز مرکزی و ۸۴ چشمه آبرفتی را در سواحل جنوبی خزر مورد مطالعه قرارداده‌اند. نتایج بیانگر آن است که در چشمehای کارستی، علاوه بر تأثیر نوع تشکیلات آبخوان، ارتفاع مکان نیز تأثیر به سزایی در آب دهی این چشمehای آبرفتی، نوع تشکیلات آبخوان و ضخامت آن، بیش از سایر عوامل در آب دهی چشمه مؤثر هستند.

اما در خصوص مدل‌سازی و پیش‌بینی رفتار جریان چشمehای کارستی در طول زمان در کشور تحقیقات بسیار محدودی انجام شده است. رئیسی و کریمی (۱۹۹۷)، پارامترهای انتقال ویژه، PH ، و دمای آب چشمه برگان در شمال غربی شیراز را هر ۲۰ روز طی دوره ۳۲ ماهه را اندازه‌گیری کرده و نمونه‌های آب در زمینه آبیون‌ها و کاتیون‌های اصلی را آنالیز کرده و از اندازه‌گیری نرخ جریان به طور روزانه، و همچنین از مدل کامپیوتری *WATEQF* نیز استفاده کرده‌اند. ایشان هیچ تفاوت قابل‌لاحظه‌ای بین ضریب اولین و دومین فروکش مشاهده نکردند. تنوع انتقال ویژه، غلظت کلسیم و بی‌کربنات و اشباع کلسیت طی مدت تحقیق ناچیز بود، بدین مفهوم که ویژگی‌های سفره آب زیرزمینی می‌تواند رفتار شیمیایی چشمه را کنترل کند. مورفولوژی و ژئولوژی حوضه آبگیر چشمه برگان و داده‌های نمودارهای آب و مواد شیمیایی نشان می‌دهد سیستم هیدرولوژیکی این چشمه دارای جریان افسان است.

اما در خارج از کشور تحقیقات بیشتری در زمینه استفاده از مدل‌های ریاضی شیمی‌ساز و مدل‌های مفهومی به منظور پیش‌بینی و تحلیل رفتار منحنی فروکش جریان خروجی از آبخوان طی دوره خشک سال انجام شده است. به عنوان مثال، Bonacci (1993, 51-62) به آنالیز جزئیات و توصیف موارد متعددی از نقاط شکست در منحنی‌های فروکش از طریق ارزش‌های مختلف ضریب فروکش در معادله Maillet (1905) پرداخته است. وی رابطه بین ضریب فروکش و ضریب مخزن خطی را با استفاده از هیدروگراف آب زیرزمینی بررسی، و نشان داده است که ضریب مخزن خطی با توجه به زمان، طبق تغییرات شرایط جریان در توده سنگی کارستی تغییر می‌کند.

در تحقیق دیگر (Padilla et al., 1994, 267-277)، هیدروگراف‌های فروکش چهار چشمه کارستی در اروپا را توسط معادلات (Coutagne, 1968, 272) و (Mangin, 1975, 269) مورد تحلیل قراردادند و درصد مشارکت جریان سریع و پایه از حجم کل آب ذخیره‌شده در آبخوان را تعیین نمودند (Halihan et al., 1998, 24-36)، از آوریل ۱۹۹۴ تا می ۱۹۹۵ هیدروگراف‌های جریان سیلان در سفره آب زیرزمینی کارست را با مجرای‌های کاملاً توسعه‌یافته به دست آوردند. داده‌ها از سیستم جریان جمع‌آوری شد و تلاش شد تا تعیین شود آیا جریان با محدودیت‌های مجرای انتقال آب کنترل می‌شود یا خیر. ایشان مدل برنولی^۱ را به منظور بررسی کنترل جریان خروجی توسط مجرای‌های انتقال آب در ماتریس آبخوان استفاده کردند.

(Todd and Carol, 1998)، به کمک مدل‌سازی عددی جریان مجرایی، واکنش هیدروگراف چشمه را در مقابل پاسخ هیدرولوژیکی آبخوان کارستی مورد بررسی قراردادند.

(Farlin and Maloszewski, 2013, 1829) با ترکیب دو مدل کلاسیک معادله بوزینسک^۲، که بیانگر فروکش جریان پایه چشمه می‌باشد، با معادله نمایی جریان پیستونی، نشان دادند که می‌توان پارامترهایی را که بیانگر توزیع زمان انتقال سفره آب زیرزمینی هستند را با درستی بیشتری نسبت به یک روش تنها، تخمین زد. همچنین این مدل ترکیبی، همبستگی بالایی بین مقادیر مشاهده و پیش‌بینی شده در چشمehایی که دارای ضریب فروکش مالایم می‌باشند نشان می‌دهد، که احتمالاً حاکی از تأثیر قویتر تخلیه مجدد آب‌های زیرزمینی طی فصل خشک می‌باشد.

با توجه به تحقیقات محدودی که در کشور به منظور شبیه‌سازی رفتار جریان چشممه طی دوره فروکش انجام شده است، هدف از این تحقیق مدل‌سازی منحنی فروکش جریان روزانه تشکیلات کارستی چشممه‌علی دامغان طی یک دوره نه ساله توسط دو معادله (Coutagne, 1968, 173) و (Mangin, 1975, 264) و مقایسه و بررسی نتایج این مدل‌ها می‌باشد.

۲- مواد و روش‌ها

شرح مختصری از تئوری دو روش (Coutagne, 1968, 272) و (Mangin, 1975, 269) به منظور مدل‌سازی آب دهی چشممه کارستی در طول دوره فروکش در این بخش ارائه می‌شود. برای مطالعه بیشتر در مورد این دو روش می‌توان به (Padilla et al., 1994, 269) و (Coutagne, 1968, 272) (Maillet, 1905, 134) مراجعه کرد.

۱-۲- روش Mangin

Mangin در سال ۱۹۷۵، دبی فروکش چشممه کارستی در هر زمان t ، Q_t را به صورت مجموع جریان پایه، q_t^b مطابق با روش (Maillet, 1905, 134)، و جریان سریع، q_t^* متأثر از تغذیه و نفوذ سطح خاک در آن زمان معرفی نمود:

$$Q_t = q_t^b + q_t^* \quad (1)$$

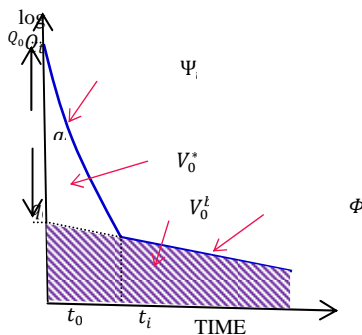
$$q_t^b = q_0^b e^{-\alpha t} \quad (2)$$

$$q_t^* = q_0^* \frac{1-\eta t}{1+\varepsilon t} \quad (3)$$

که در آن‌ها q_0^b ، جریان پایه بروندیابی شده در ابتدای منحنی فروکش مطابق با شکل (۱) می‌باشد. پارامتر α ، نیز ضریب فروکش جریان پایه طبق روش Maillet است. q_0^* اختلاف بین دبی کل چشممه، Q_0 ، مقدار متناظر جریان پایه، q_0^b ، در زمان شروع فروکش، $t = 0$ مطابق شکل (۱) می‌باشد. پارامتر η ، معکوس زمان شروع دبی پایه $\left(\frac{1}{t_i}\right)$ ، و یا طول عکس مدت زمان جریان سریع معرفی شده است. ضریب ε ، که از نظر ریاضی درجه تقریب منحنی جریان سریع را نیز نشان می‌دهد، بیانگر ضریب متوسط منطقه غیراشباع در نفوذ آب از سطح خاک به تشکیلات کارستی می‌باشد و دارای بعد عکس زمان $\left(\frac{1}{t}\right)$ ، می‌باشد. مقدار $\frac{1-\eta t}{1+\varepsilon t}$ ، که با تابع Y_t ، نیز نشان داده می‌شود، دارای مقدار بین صفر و یک می‌باشد.

$$Y_t = \frac{1-\eta t}{1+\varepsilon t} = \begin{cases} 1 & t = 0 \\ K & 0 < t < t_i \\ 0 & t = t_i \end{cases} \quad (4)$$

که در آن $1 < K < 0$ است. این تابع، بی‌بعد بوده و مستقل از جریان چشممه است و می‌توان برای مقایسه تغییرات جریان سریع چشممه در طول سال‌های مختلف به کار برد.



شکل(۱): نمودار تغییرات جریان سریع و پایه در منحنی فروکش آب دهی چشمی کارستی (منبع: Padilla et al., 1994, 270)

با گرفتن انتگرال از توابع دبی جریان‌های سریع و پایه نسبت به زمان، می‌توان توابع حجم آب ذخیره‌شده در قسمت غیراشباع خاک، V_t^* ، و همچنین تشکیلات کارستی، V_t^b ، را در هر زمان محاسبه نمود:

$$V_t^* = \int_{t=0}^t q_t^* dt = \int_{t=0}^t q_0^* \frac{1-\eta t}{1+\varepsilon t} dt = \frac{q_0^*}{\varepsilon} \left(\ln(1 + \varepsilon t) \left(1 + \frac{\eta}{\varepsilon} \right) - \eta t \right) \quad 0 < t < t_i \quad (5)$$

$$V_t^b = \int_{t=0}^t q_t^b dt = \int_{t=0}^t q_0^b e^{-\alpha t} dt = \frac{q_0^b}{\alpha} (1 - e^{-\alpha t}) \quad t > 0 \quad (6)$$

تابع حجم کل جریان چشمی در هر زمان، V_t^T ، برابر مجموع دو تابع فوق می‌باشد:

$$V_t^T = V_t^* + V_t^b \quad (7)$$

برای محاسبه حجم اولیه آب ذخیره‌شده در ابتدای شاخه جریان سریع، V_0^* ، و همچنین حجم آب ذخیره‌شده در تشکیلات کارستی که در طول جریان پایه تخلیه می‌شوند، V_0^b ، می‌توان در بالای انتگرال در روابط (۵) و (۶) را به ترتیب مقادیر t_i ، و بی‌نهایت قرارداد:

$$V_0^* = \int_{t=0}^{t_i} q_t^* dt = \int_{t=0}^{t_i} q_0^* \frac{1-\eta t}{1+\varepsilon t} dt = \frac{q_0^*}{\varepsilon} \left[\ln(1 + \varepsilon t) \left(1 + \frac{\eta}{\varepsilon} \right) - 1 \right] \quad (8)$$

$$V_0^b = \int_{t=0}^{t=+\infty} q_t^b dt = \int_{t=0}^{t=+\infty} q_0^b e^{-\alpha t} dt = \frac{q_0^b}{\alpha} \quad (9)$$

می‌توان نتیجه گرفت که حجم اولیه آب ذخیره‌شده که در طول فروکش جریان توسط چشمی تخلیه می‌شود، V_0^T ، برابر $V_0^* + V_0^b$ است.

Coutagne در سال 1968، دبی جریان یک چشمی کارستی در طول دوره فروکش را به صورت تابع پیوسته زهکشی مخازن آب به صورت زیر معرفی نمود:

$$Q_t = \begin{cases} Q_0 e^{-\alpha t} & n = 1 \\ (Q_0 - Q_c) [1 + (n-1)\alpha_0 t]^{\frac{n}{1-n}} & n \neq 1 \\ Q_c & n = 0 \end{cases} \quad (10)$$

پارامتر n مورد استفاده توسط Coutagne دارای مفهوم فیزیکی وسیعی می‌باشد، به گونه‌ای که اگر $n = 0$ باشد، دبی چشمی به صورت ثابت و بدون تغییر Q_c ، خارج می‌شود. در صورتی که $n = 1$ باشد، نمایشگر آبخوان کارستی توسعه‌یافته ضخیمی است که جریان با سرعت ثابت مطابق با تئوری Maillet توسط چشمی زهکشی می‌شود و اگر $n = 2$ باشد، نشان‌دهنده آبخوان کارستی مطابق است که توسط تئوری Singh در سال ۱۹۶۹ معرفی شده است. از دیدگاه عملی، $n < 2$ می‌باشد. ضابطه دوم از رابطه (۹) را می‌توان در قالب گام زمانی، Δt صورت زیر نیز نوشت:

$$Q_{t+\Delta t} = (Q_t - Q_c)[1 + (n-1)\alpha_t \Delta t]^{\frac{n}{1-n}} \quad (11)$$

که در آن Q_t و $Q_{t+\Delta t}$ در منحنی فروکش می‌باشد. در عمل برای Q_c ، که به عنوان جریان ثابت چشمی در نظر گرفته می‌شود، می‌توان کمترین دبی مشاهده شده در منحنی فروکش را منظور کرد. α_t ، تابع ضریب فروکش می‌باشد که به صورت زیر قابل بیان است:

$$\alpha_t = \frac{\alpha_0}{1+(n-1)\alpha_0 t} \quad (12)$$

این ضریب، تابع زمان، و پارامترهای α_0 و n است. Padilla در سال 1990، با انتگرال‌گیری از ضابطه دوم رابطه (۲) نسبت به زمان، تابع حجم جریان را محاسبه کرد:

$$V_t = \int_{t=0}^{t=+\infty} (Q_0 - Q_c) [1 + (n-1)\alpha_t 0] d_t = \frac{Q_0 - Q_c}{\alpha_0} \quad (13)$$

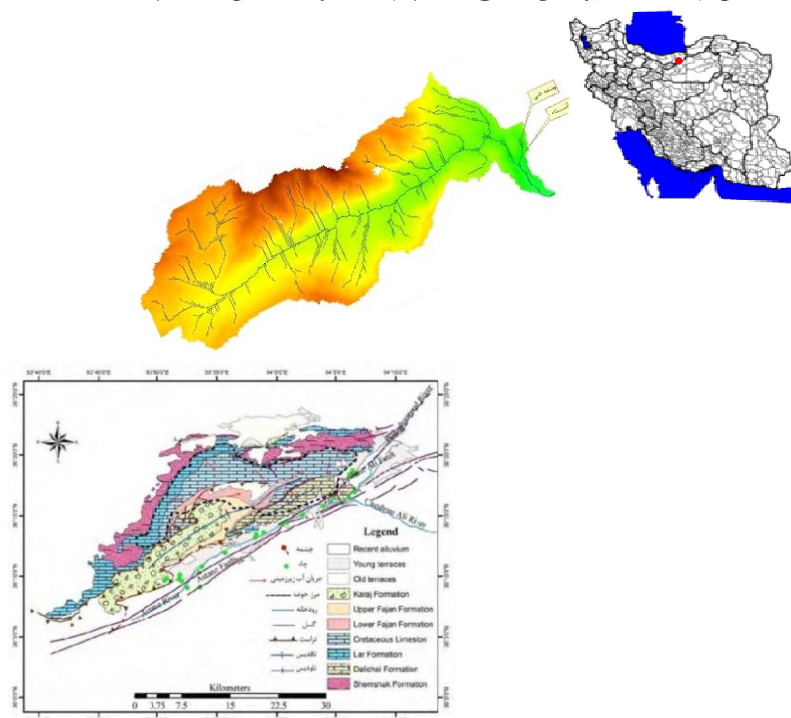
در این روش حجم اولیه آب ذخیره شده در سیستم آبخوان، به صورت $V_0 = \frac{Q_0}{\alpha_0}$ ، محاسبه می‌شود. مشابه با تابع Y_t ، در روش Mangin Coutagne نیز تابع بدون بعد متغیر در زمانی به نام H_t ، برای تمام منحنی فروکش تعریف شده که از تقسیم α_t بر α_0 محاسبه می‌شود:

$$H_t = \begin{cases} 0 & t = \infty \\ \frac{1}{1+(n-1)\alpha_0 t} & 0 < t \\ 1 & t = 0 \end{cases} \quad (14)$$

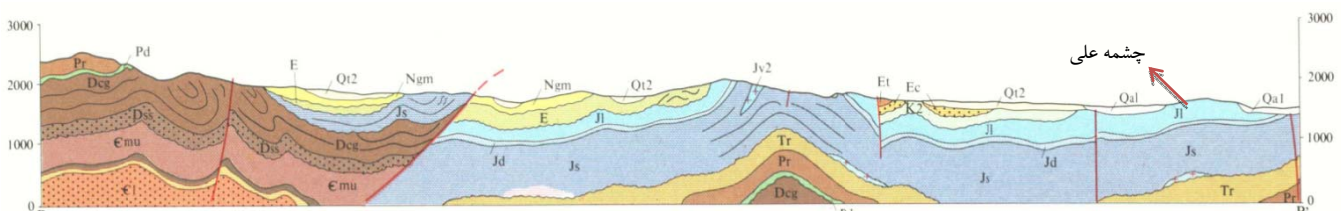
این تابع نیز دارای مقادیری بین صفر و یک است و مستقل از جریان چشمeh است.

منطقه مورد مطالعه

حوضه آبگیر چشمeh علی دارای مساحت ۱۴۸ کیلومترمربع و در مختصات جغرافیایی $۵۳^{\circ} ۵۴' ۴۱''$ طول شرقی و $۳۶^{\circ} ۲۴' ۳۶''$ عرض شمالی واقع شده است. دامنه ارتفاعی از ۱۰۵۰ در حاشیه کویر حاج علی قلی تا ۳۹۵۰ در ارتفاعات شمالی حوضه به چشم می‌خورد. این چشمeh در ۳۲ کیلومتری شهر دامغان یکی از زیرحوضه‌های کویر حاج علی قلی و به عنوان بزرگ‌ترین چشمeh کارستی در استان سمنان شناخته شده است. پرآب‌ترین رود دامغان رود از این چشمeh سرچشمeh می‌گیرد و از روستای آستانه شروع شده و با جهت جریان کلی شمال غرب-جنوب شرق، با طی مسیر ۳۰ کیلومتری در نهایت وارد دشت دامغان می‌شود (شکل ۲). متوسط آب دهی چشمeh در محل ایستگاه آستانه در خروجی آن، ۵۰۰ تا ۷۰۰ لیتر در ثانیه (حجم رواناب سالانه ۲۷ میلیون مترمکعب) است که تأمین‌کننده نیاز آبی بخشی از شهر دامغان و حدود ۲۵ روستای اطراف می‌باشد. بر اساس ایستگاه باران سنگی آستانه که نزدیک‌ترین ایستگاه باران سنگی به خروجی چشمeh با ارتفاع ۱۴۵۰ متر از دریا می‌باشد، حوضه آبگیر آن دارای میانگین بارش سالانه ۱۵۵ میلی‌متر، میانگین سالانه دما ۱۶ درجه سانتیگراد و میانگین تبخیر سالانه از تشتک ۱۹۰۰ میلی‌متر می‌باشد که اقلیم نیمه‌خشک را در این منطقه موجب شده است. قسمت اعظم بارش‌ها در این حوضه به صورت برف است که منجر می‌شود بیشترین آب دهی چشمeh در فروردین ماه رخ دهد (شهربازی و همکاران، ۱۳۹۰).



شکل (۲): نقشه شبکه زهکشی و زمین‌شناسی حوضه آبگیر چشمeh علی دامغان



شکل (۳): نقشه مقطع زمین‌شناسی حوضه آبگیر چشمeh علی دامغان (کرمی، ۱۳۸۸)

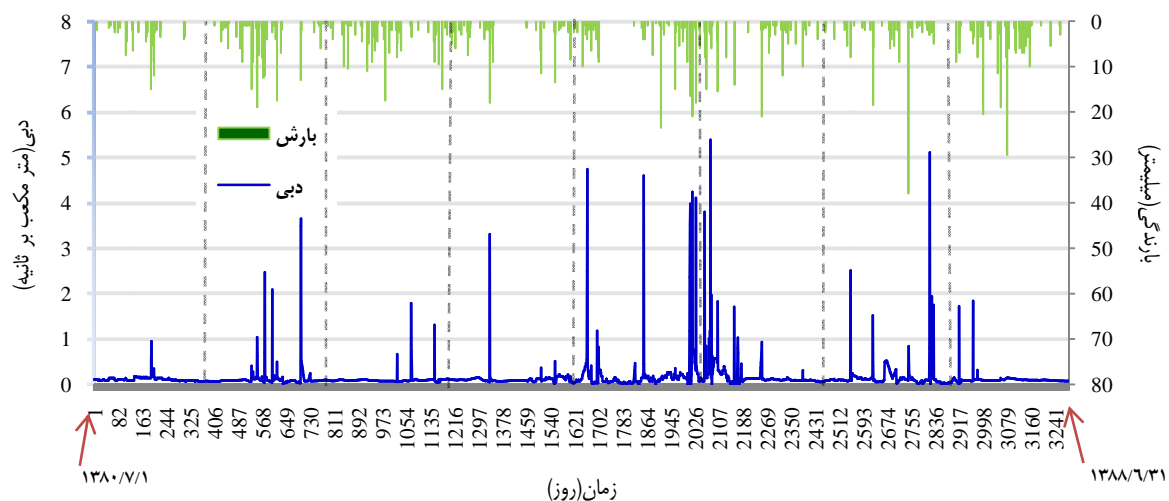
از نظر ژئومورفولوژی، ارتفاعات شمالی چشمۀ علی دارای دو تیپ کوهستانی همراه با دشت آبرفتی کوچکی در حد واسط آن می‌باشد. این منطقه فاقد پدیده‌های ژئومورفولوژیکی مهم کارستی از قبیل گودی‌های مسدود، فروچاله‌ها، درزه‌ها و شکستگی‌های انحلالی بزرگ و عمیق است. بازدیدهای صحراوی در برخی نواحی آثار قطرات باران، شکستگی‌های کم و بیش بزرگ، حفرات لانه کبوتری و کارن را نشان می‌دهد (کرمی، ۱۳۸۳، ۷۳).

از نظر زمین‌شناسی، منطقه مورد مطالعه در زون البرز مرکزی-شرقی واقع شده است. در این زون، چین‌ها به صورت تاقدیس و ناویدیس‌های باریک و طویلی هستند که عموماً پهلوی جنوبی آن‌ها در اثر عملکرد گسل‌های راندگی، بریده شده و به سمت جنوب جابه‌جا شده‌اند. عملکرد راندگی‌ها، تکتونیک بلوكی و حوضه‌های رسوی محدود به زون-های گسلی، سبب به هم خوردگی نظم اولیه توالي‌ها و خصامت واحدهای سنگ چینهای هم سن و همزمان شده است (پایگاه ملی داده‌های علوم زمین). از نظر چینه‌شناسی، منطقه شامل سازنده‌های شمشک، دلیچای، لار، آهک‌های کرتاسه، فجن، کرج و نهشته‌های کواترنری می‌باشد (شکل ۳).

گسلی با فاصله حدود ۲۰۰ متر بالادست مظهر چشمۀ علی با روند شمال شرق-جنوب غرب با سازوکار معکوس در بروزنه‌های دلیچای مشخص است. طول این گسل در قسمت‌های شرقی حوضه به دلیل نهشته شدن آبرفت بر آن مشخص نیست. جابجایی این گسل سبب ریزش بلوك‌هایی از آهک‌های دلیچای بر روی آبرفت‌های کنار جاده شده است. لازم به توضیح است گسلی در فاصله حدود ۸۰۰ متر پایین‌دست مظهر چشمۀ علی در حاشیه جاده دامغان-چشمۀ علی وجود دارد. روند این گسل به گونه‌ای می‌باشد که نسبت به گسل‌های چشمۀ علی و آستانه متقطع می‌باشد و در نقشه زمین‌شناسی منطقه ثبت نشده است (شکری، ۱۳۹۰، ۱۰).

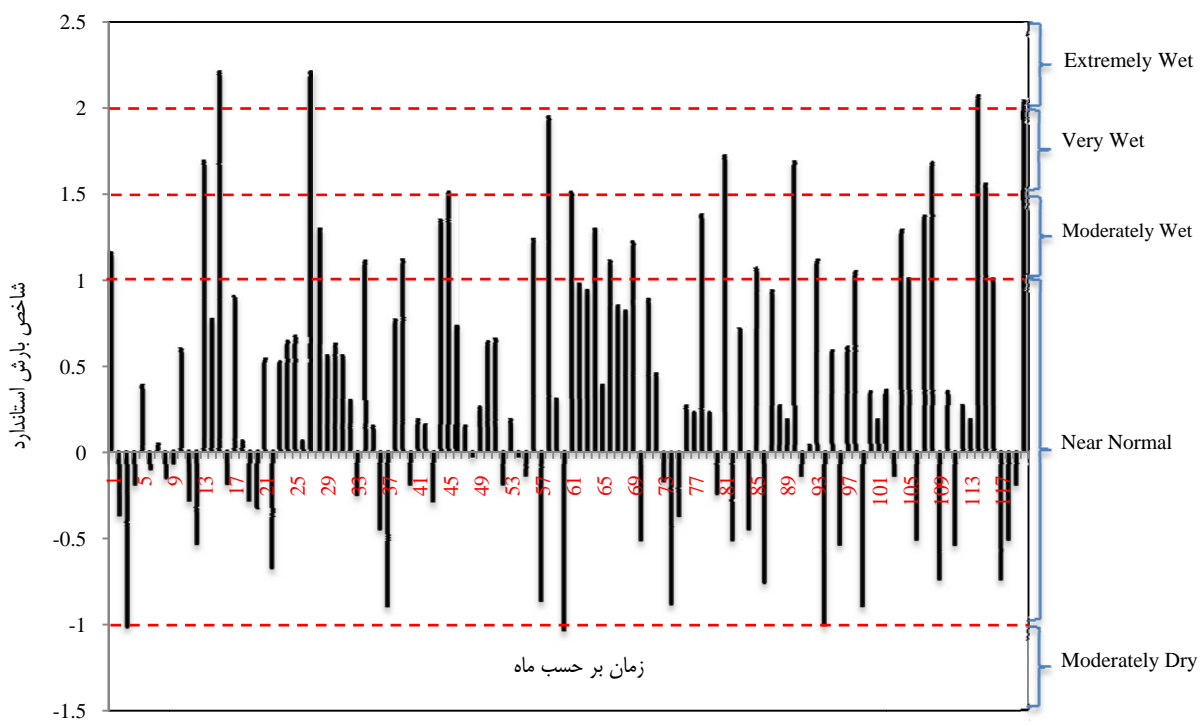
در حوضه آبگیر چشمۀ علی دامغان هیچ‌گونه چاه بهره‌برداری یا اکتشافی حفر نشده، اما در جنوب تاقدیس چشمۀ علی در داخل آبرفت‌های کواترنری تعداد ۲۴ حلقه چاه حفاری جهت مصارف کشاورزی حفر شده است (شکل ۲). بنا بر اطلاعات آماربرداری سال ۱۳۸۲ امور آب شهرستان دامغان، مجموع برداشت سالانه آب از این چاه‌ها 14630 مترمکعب می - باشد. این چاه‌ها عمیق بوده و عمقی مابین ۹۰ تا ۱۸۰ متر دارند و روند کلی افزایش عمق حفاری از شرق حوضه (از محل چشمۀ) به غرب مشاهده می‌شود. نوع سفره در این چاه‌ها آزاد ذکر شده است. سنگ کف، شیل شمشک و آهک‌های لار قید شده است. لازم به ذکر است هدایت الکتریکی نزدیک‌ترین چاه به چشمۀ (با فاصله ۷۰۰ متر در جنوب غربی چشمۀ) ۱۱۰۰ میکرومیکرون متری بر سانتی‌متر و مابقی با روند کلی افزایش به سمت غرب حوضه از ۲۰۰۰ تا ۶۸۰۰ میکرومیکرون می‌باشد. لذا بالا بودن هدایت الکتریکی این چاه‌ها دال بر تغذیه این چاه‌ها از این رودخانه می‌باشد. در فصول خشک ته‌نشست املاح در بستر رودخانه صورت می‌گیرد، جریان دوباره رودخانه و نفوذ آب سبب بالا بردن هدایت الکتریکی آب این چاه‌ها شده است (شکری، ۱۳۹۰). با توجه به اندازه-گیری‌های میدانی که توسط کرمی در سال ۱۳۸۳ انجام شده است، تغییرات زمانی خواص فیزیکی و شیمیایی جریان چشمۀ بسیار اندک گزارش شده است به گونه‌ای که ضریب تغییرات پارامترهای کیفی، حداقل برابر با $1/39$ برای دمای آب و حداقل برابر با $15/45\%$ مربوط به نیترات می‌باشد.

به منظور بررسی رفتار هیدرولوژیکی چشمۀ مورد مطالعه، داده‌های بارش و آب دهی روزانه ایستگاه باران‌سنجدی و هیدرومتری آستانه مربوط به سال‌های ۱۳۸۰-۸۱ تا ۱۳۸۸-۸۹ (مجموعاً ۳۲۸۵ روز) از شرکت مدیریت منابع آب ایران اخذ شده است و نمودار سری زمانی این داده‌ها در شکل (۴) ارائه شده است. در شکل مذکور، هر ۳۶۵ روز با خط چین مشخص و تفکیک شده است.



شکل(۴): نمودار سری زمانی داده‌های روزانه بارش و دبی چشمی مورد مطالعه (از تاریخ ۱۳۸۰/۷/۱ تا ۱۳۸۸/۶/۳۱)

به منظور بررسی وضعیت خشکسالی منطقه مورد مطالعه، شاخص بارش استاندارد (SPI) در مقیاس ماهانه محاسبه و تغییرات آن در شکل (۵) ارائه شده است. همان طور که مشاهده می‌شود، ۷۳ درصد از ماههای مورد بررسی حالت نرمال دارند. همچنین دوره معتدل و مرطوب، و معتل و خشک به ترتیب $13/5$ و $3/5$ درصد از ماههای را به خود اختصاص می‌دهند. دوره بسیار خشک و به شدت مرطوب به ترتیب $6/5$ و $3/5$ درصد را شامل می‌شود. با توجه به اعداد ذکر شده می‌توان گفت حوضه مذکور دارای شاخص بارش استاندارد تقریباً نرمال می‌باشد.



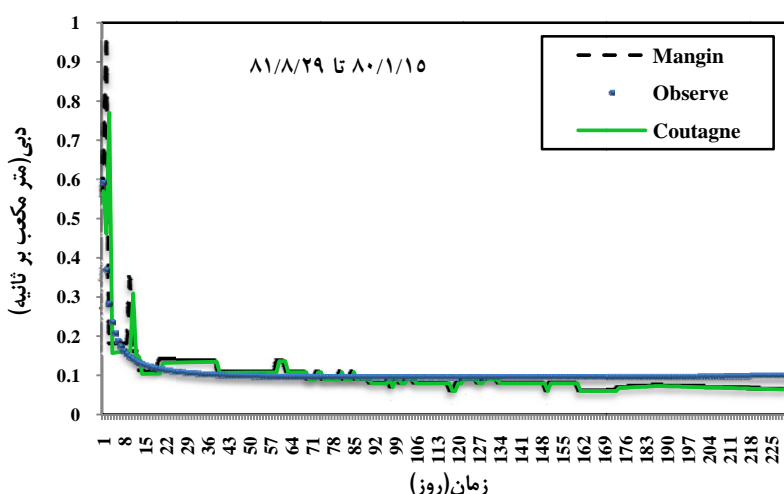
شکل(۵): سری زمانی تغییرات SPI طی ماههای مختلف سال در حوضه مورد مطالعه (از سال ۱۳۸۰ تا ۱۳۸۸)

بحث و نتایج

داده‌های منحنی فروکش سال اول (۱۳۸۰)، به منظور واسنجی دو روش (تخمین مقدار بهینه پارامترهای ϵ ، η و n) مورد استفاده قرار گرفت و سایر داده‌های موجود به منظور ارزیابی پارامترهای تخمین‌زده شده، به کار گرفته شد. به کمک تکنیک بهینه‌سازی خطی توسط ابزار Solver در محیط نرم‌افزار Excel، مقادیر بهینه پارامترهای ϵ و η در روش Mangin به ترتیب برابر با $1/77\text{ day}$ و $1/10$ و مقدار پارامتر n در روش Coutagne برابر با $1/36$ به دست آمد.

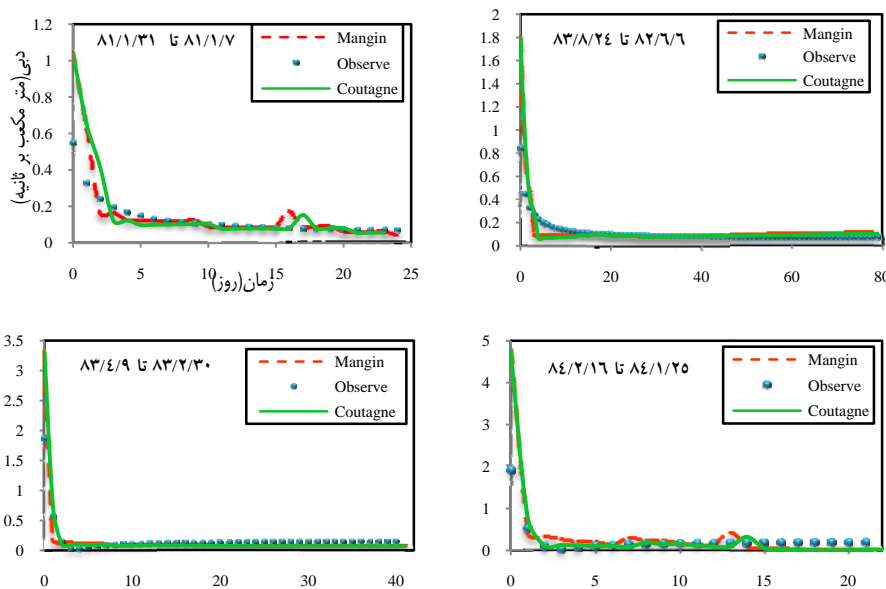
با توجه به اینکه مقدار بهینه‌شده پارامتر n نزدیک به یک می‌باشد، می‌توان نتیجه گرفت که آبخوان مورد مطالعه یک آبخوان کارستی با خصامت بالا است که جریان زهکشی شده با سرعت ثابت و کند (مطابق با تئوری Maillet) در بخش پائینی (اشباع) آبخوان در حرکت است.

دو معیار ضریب همبستگی (R^2) و ریشه میانگین مربعات خطاهای ($RMSE$) به منظور بررسی نکویی برآذش پارامترهای بهینه‌شده در دو مدل استفاده قرار گرفتند. مقادیر R^2 و $RMSE$ در سال ۱۳۸۰ برای مدل Mangin به ترتیب، $0/47$ و $0/053$ ، و برای مدل Coutagne $0/63$ و $0/496$ به دست آمده است. منحنی واسنجی فروکش جریان چشمی (سال ۱۳۸۰) توسط دو روش، بر اساس پارامترهای تخمینی در شکل (۶) ارائه شده است.

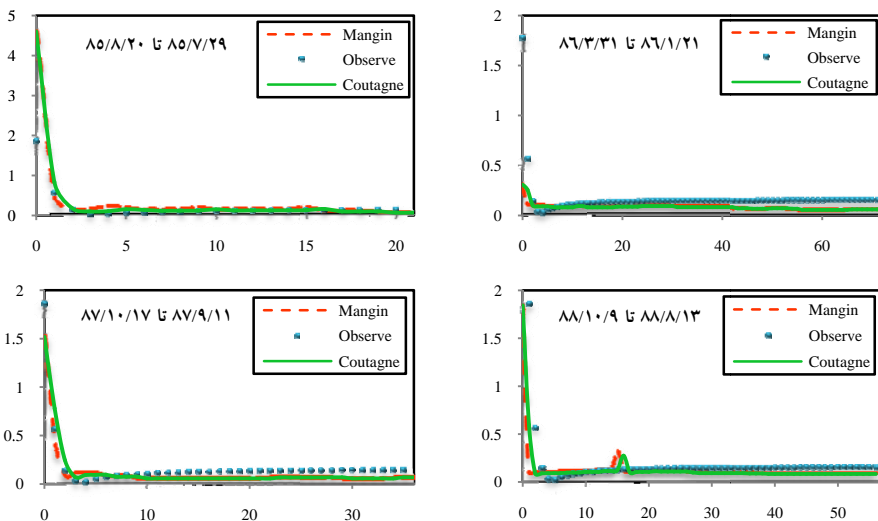


شکل(۶): منحنی واسنجی فروکش جریان چشمی توسط دو روش Mangin و Coutagne

بر اساس پارامترهای واسنجی شده در دو روش، منحنی فروکش جریان چشمی برای سال‌های ۱۳۸۱ تا ۱۳۸۸ شیوه‌سازی شدند و نتایج در شکل (۷) نشان داده شده است. مشاهده می‌شود که هر دو روش هماهنگی نسبتاً خوبی در شیوه‌سازی مقادیر دبی‌های دوره فروکش طی سال‌های مختلف دارند. ولی با این حال در روش Coutagne، در قسمت جریان سریع، پایین‌افتادگی‌هایی مشاهده می‌شود که سبب ناهمانگی در منحنی نمودار شده است، و باید گفت که در اینجا از روش Mangin پاسخ مناسب‌تری دریافت شده است.



شکل(۷): منحنی شبیه‌سازی شده فروکش جریان چشممه توسط دو روش Mangin و Coutagne



شکل(۷) (ادامه)

به منظور بررسی کمی دقیق مدل‌های مورد استفاده در شبیه‌سازی منحنی فروکش چشممه طی سال‌های ۱۳۸۱-۱۳۸۸ دو معیار خطای R^2 و $RMSE$ محاسبه و نتایج به دست آمده در جدول (۱) ارائه شده است.

جدول(۱): نتایج معیارهای خطای R^2 و $RMSE$ برای منحنی‌های فروکش شبیه‌سازی شده طی سال‌های ۱۳۸۱-۱۳۸۸

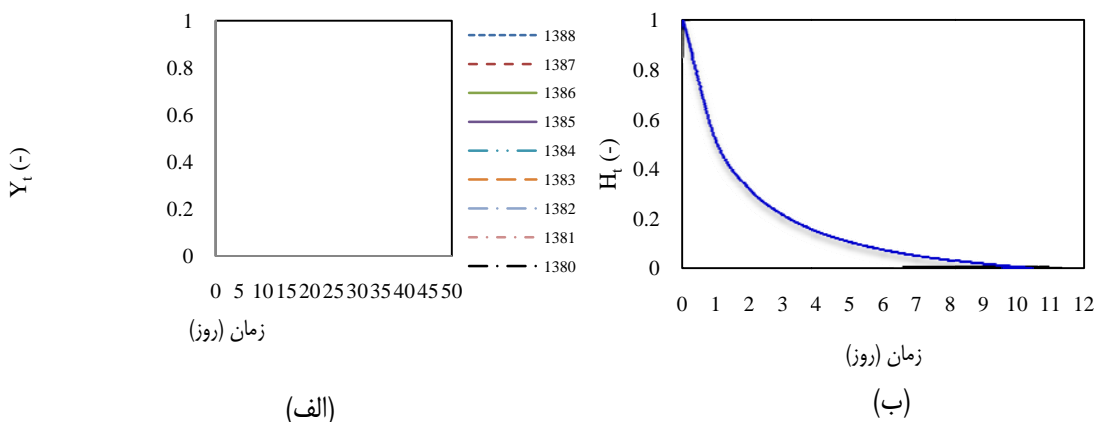
Coutagne	روش	Mangin	روش	دوره فروکشن
۰/۰۶	۰/۲	۰/۱۲	۰/۱۰	۸۱/۱/۳۱ - ۸۱/۱/۷
۰/۱۴	۰/۶۸	۰/۱۸	۰/۵۸	۸۳/۸/۲۴ - ۸۲/۶/۶
۰/۰۸	۰/۹۷	۰/۵۲	۰/۵۰	۸۳/۴/۹ - ۸۳/۲/۳۰

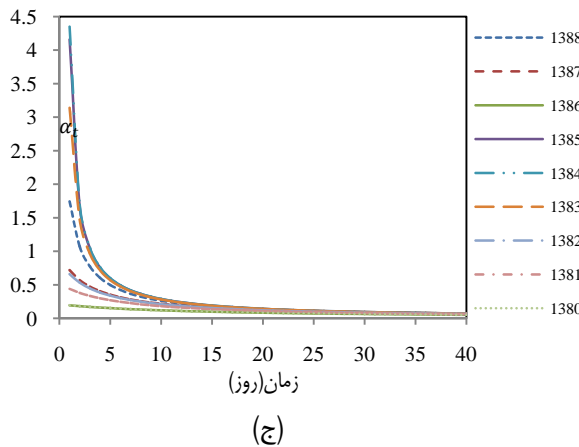
۰/۱۴	۰/۹۸	۰/۹۵	۰/۶۰	۸۴/۲/۱۶ – ۸۴/۱/۲۵
۰/۰۹	۰/۹۹	۰/۹۳	۰/۷۰	۸۵/۸/۲۰ – ۸۵/۷/۲۹
۰/۰۲	۰/۷۸	۰/۲۲	۰/۶۰	۸۶/۳/۳۱ – ۸۶/۱/۲۱
۰/۰۷	۰/۹۴	۰/۳۲	۰/۱۵	۸۷/۱۰/۱۷ – ۸۷/۹/۱۱
۰/۰۷	۰/۹۰	۰/۳۱	۰/۴۰	۸۸/۱۰/۹ – ۸۸/۸/۱۳

نتایج جدول (۱) نشان می‌دهد که منحنی‌های فروکش جریان چشمی که توسط روش Coutagne شیوه‌سازی شده‌اند از نظر معیارهای خطای R^2 و RMSE در تمامی سال‌ها دارای کارایی بالاتر و خطای کمتری نسبت به روش Mangin می‌باشند.

نمودار تغییرات توابع بدون بعد Y_t و H_t در روش‌های Coutagne و Mangin طبق روابط شماره (۴) و (۱۴) برای چشمی مورد مطالعه محاسبه و در شکل (۸) ارائه شده است. نکته قابل توجه اینکه روش Coutagne تنها یک نمودار برای تمام سال‌ها به ازای تنها یک مقدار پارامتر $n=1/36$ ارائه می‌کند در حالی که طبق روش Mangin برای هر سال، متضایر با تغییرات پارامترهای ϵ و η روند این تابع متفاوت می‌باشد.

روند تغییرات تابع ضریب فروکش (α_t) که در روش Coutagne به منظور محاسبه مقادیر دبی و حجم آب ذخیره شده در آبخوان مورد نیاز می‌باشد و طبق رابطه (۱۲) قابل محاسبه است در شکل (۸) ارائه شده است. این تابع متغیر در زمان تابع پارامترهای n و α_0 می‌باشد. بر اساس این شکل، ضریب فروکش جریان چشمی در روزهای اولیه شروع منحنی فروکش دارای تغییرات زیادی طی سال‌های مختلف می‌باشد. اما با گذشت زمان (حدود ۱۰ روز) پس از شروع فروکش جریان چشمی، همه مقادیر ضرایب طی سال‌های مختلف به سمت مقادیر یکسان (بین ۰/۰۲ تا ۰/۰۴) همگرا می‌شوند. علاوه بر این، برای سال‌هایی مانند ۱۳۸۳ تا ۱۳۸۵ که تغییرات ضریب فروکش تغییرات شدیدتری و بالاتری نسبت به سایر سال‌ها از خود نشان می‌دهند، تابع بدون بعد H_t نیز دارای تغییرات بیشتر و مقادیر کمتری از خود نشان می‌دهد.



شکل (۸): تغییرات توابع بدون بعد H_t (شکل الف) و Y_t (شکل ب) و تابع ضریب فروکش جریان (شکل ج)

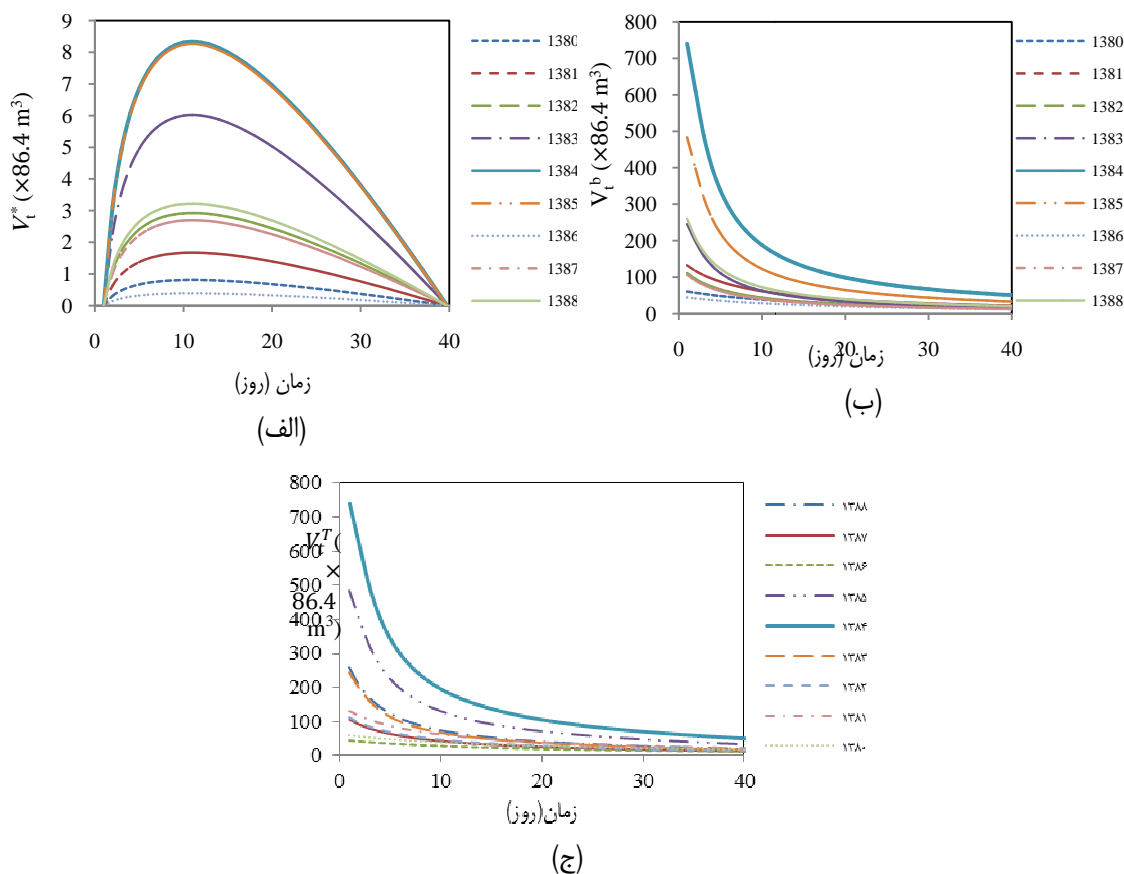
مقادیر مشاهداتی و شبیه‌سازی شده حجم اولیه جریان ذخیره‌شده (V_0^T) در مخزن تشکیلات کارستی چشم مورد مطالعه که در طول منحنی فروکش تخلیه می‌شود، توسط دو روش محاسبه و در جدول (۲) ارائه شده است. لازم به ذکر می‌باشد که مقادیر (V_0^T) در روش Mangin از مجموع حجم اولیه جریان سریع (V_0^*) و جریان پایه (V_0^b) به دست آمده است. علاوه بر این درصد خطای برآورد حجم اولیه آب ذخیره‌شده توسط دو روش در هر سال نیز در جدول (۲) ارائه شده است. نتایج نشان می‌دهد که تقریباً در تمام سال‌ها، درصد خطای پیش‌بینی حجم اولیه آب ذخیره‌شده توسط روش Mangin کمتر از روش Coutagne می‌باشد. به طور متوسط حجم اولیه آب ذخیره‌شده در آبخوان که توسط روش‌های Mangin و Coutagne شبیه‌سازی شده‌اند به ترتیب برابر با $\frac{271}{9}$ و $\frac{234}{1}$ میلیون مترمکعب بر سال برآورد شده است در حالی که مقدار حجم متوسط سالانه آب دهی چشم می‌براسد. داده‌های مشاهداتی برای $\frac{275}{3}$ میلیون مترمکعب محاسبه شده است که نشان‌دهنده دقیق‌تر بالای روش Mangin در تخمین حجم اولیه جریان در آبخوان است. همچنین متوسط خطای برآورد حجم کل جریان ذخیره‌شده در آبخوان توسط روش Mangin و Coutagne به ترتیب برابر با $\frac{5}{2}\%$ و $\frac{6}{23}\%$ به دست آمده است. اما همان طور که پیشتر نیز اشاره شد، روش Coutagne در شبیه‌سازی مقادیر دبی روزانه چشم می‌درد منحنی فروکش با درنظر گرفتن معیارهای R^2 و RMSE نسبت به روش Coutagne از درجه کارآیی بالاتری برخوردار است. به منظور نشان دادن میزان مشارکت حجم ذخیره‌شده جریان با ضریب قابلیت بالا (جریان سریع، V_0^*) در مقایسه با جریان با قابلیت انتقال پائین (جریان پایه، V_0^b) در تخلیه جریان از آبخوان، درصد هر یک از این دو جریان نسبت به حجم اولیه کل (V_0^T) برای سال‌های مختلف، محاسبه و در جدول (۲) ارائه شده است. علاوه بر این نتایج ارائه شده در جدول (۲) نشان می‌دهد که به طور متوسط $\frac{8}{3}\%$ از حجم کل آبخوان به صورت جریان سریع در بخش غیراشیاع و سطحی آبخوان ذخیره‌شده و بقیه به صورت جریان آهسته و کند در تشکیلات کارستی وجود دارند. غالباً بودن جریان کارستی نسبت به جریان سریع، حاکی از توسعه‌یافتنگی بالای آبخوان کارستی می‌باشد و افسان بودن سیستم افسان در مقایسه با سیستم مجرایی جریان آبخوان می‌باشد (Padilla et al., 1994).

جدول (۲): حجم اولیه آب ذخیره‌شده در آبخوان کارستی (V_0^T) و درصد خطای برآورد آن توسط دو روش در هر سال

Coutagne روش		Mangin روش				حجم اولیه مشاهداتی (میلیون مترمکعب)	سال
درصد خطای (%)	(میلیون مترمکعب)	درصد خطای (%)	(میلیون مترمکعب)	(میلیون مترمکعب)			
-۵/۷	۶۷۷/۰	-۱/۴	۷۰۷/۸	۷۰۷/۷۸	.۰۰۲	۷۱۸/۲	۱۳۸۰
-۱۵/۸	۱۰۴/۴	۲/۸	۱۲۷/۵	۱۲۷/۴۸	.۰۰۲	۱۲۴/۰	۱۳۸۱

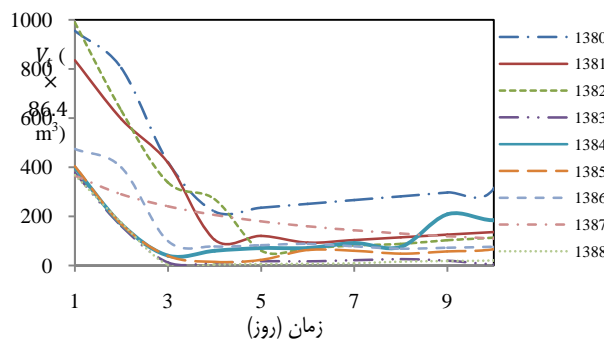
-۲۳/۵	۲۸۲/۳	-۱۳/۶	۳۱۸/۹	۳۱۸/۷۳	./۱۷	۳۶۹/۱	۱۳۸۲
-۶/۰	۱۹۸/۳	۶/۵	۲۲۴/۶	۲۲۴/۳۸	./۲۲	۲۱۱/۰	۱۳۸۳
-۳۹/۹	۱۴۹/۲	-۵/۸	۲۳۳/۸	۲۳۳/۶۹	./۱۱	۲۴۸/۲	۱۳۸۴
-۵۵/۹	۱۰۸/۵	./۸	۲۴۷/۹	۲۴۷/۷۲	./۱۸	۲۴۶/۰	۱۳۸۵
۲۳/۸	۱۴۳/۴	./۳	۱۸۸/۸	۱۸۸/۷۹	./۰۱	۱۸۸/۲	۱۳۸۶
۲۸/۵	۱۷۵/۱	۱۰/۵	۱۵۰/۶	۱۵۰/۵۲	./۰۸	۱۳۶/۳	۱۳۸۷
۱۳/۶	۲۶۹/۰	۴/۲	۲۴۶/۸	۲۴۶/۶۹	./۱۱	۲۳۶/۸	۱۳۸۸

تغییرات زمانی حجم آب ذخیره شده در قسمت های غیر اشیاع خاک، V_t^* و تشکیلات کارستی، V_t^b که توسط روش Mangine بر اساس روابط (۵) و (۶) محاسبه شده در شکل (۹) نشان داده شده است. روند تغییرات حجم آب ذخیره شده در قسمت غیر اشیاع که به صورت جریان سریع تخلیه می شود در ابتدا تا تقریباً روز دهم حالت افزایشی داشته و سپس حالت کاهشی نشان می دهد. در حالی که نمودار تغییرات حجم آب ذخیره شده در تشکیلات کارستی که به صورت جریان پایه یا کند تخلیه می شود، روند نزولی را در طی زمان نشان می دهد. نمودار تغییرات V_t^* و V_t^b طی سال های ۱۳۸۳ تا ۱۳۸۵ بالاتر از بقیه سال ها قرار دارد که نشان دهنده بالا بودن حجم آب ذخیره شده در قسمت غیر اشیاع خاک و مناطق کارستی ناشی از نفوذ از سطح طی این سال ها دارد. مجموع حجم آب ذخیره شده در قسمت غیر اشیاع و تشکیلات کارستی در هر زمان، حجم کل جریان ذخیره شده، V_t^T را نتیجه می دهد (شکل ۹).



شکل(۹): نمودار تغییرات حجم آب ذخیره شده در (الف) قسمت غیر اشباع خاک، (ب) تشکیلات کارستی و (ج) حجم آب ذخیره شده کل

روند تغییرات حجم آب ذخیره شده در آبخوان کارستی (V_t)، توسط روش Coutagne بر اساس رابطه (۱۳) برای سال‌های مختلف محاسبه و نتایج به دست آمده در شکل(۱۰) نشان داده شده است. با مقایسه این نمودار با نمودار (ج) می‌توان نتیجه گرفت که حجم آب ذخیره شده در آبخوان کارستی توسط روش Coutagne طی زمان‌های مختلف دارای مقادیر بالاتری نسبت به مقادیر متناظر توسط روش Mangine می‌باشد.



شکل(۱۰): نمودار تغییرات حجم جریان ذخیره شده در آبخوان بر اساس روش Coutagne

نتیجه‌گیری

در این تحقیق دو روش تحلیلی شبیه‌سازی منحنی فروکش آب دهی چشممه‌های کارستی که توسط روش (Mangin, 1975, 269) و (Coutagne, 1968, 272) ارائه شده است، به منظور مدل‌سازی جریان فروکش چشممه‌علی دامغان طی نه سال در مقیاس روزانه مورد استفاده قرار گرفت. نتایج به دست آمده از این تحقیق نشان داد که هر دو روش مورد استفاده در مورد توسعه‌یافتنگی بخش بالای آبخوان کارستی مورد مطالعه و غالب بودن سیستم افشاری جریان آب در تشکیلات پائینی (بخش اشباع) اتفاق نظر دارند. هر دو مدل به منظور برآورد مقدار بهینه پارامترهای خود نیاز به واسنجی دارند. از نظر برآورد حجم جریان ذخیره شده در تشکیلات کارستی، روش Mangin و از نظر پیش‌بینی دبی روزانه طی دوره فروکش، روش Coutagne دارای کارآیی و دقیق‌تر می‌باشد. بر اساس نتایج روش Mangin می‌توان چنین گفت که حدود ۹۹/۵٪ از کل حجم آب ذخیره شده در تشکیلات کارستی آبخوان چشممه‌علی، در بخش اشباع ذخیره شده و جریان کند (پایه) آبخوان را تشکیل می‌دهد و حجم بسیار اندکی از جریان خروجی از چشممه در ناحیه نفوذی (غیر اشباع) آبخوان به طور موقت ذخیره می‌شوند. به عنوان نتیجه نهایی، روش Coutagne نسبت به روش Mangin از این نظر که برای پیش‌بینی جریان فروکش چشممه برای سال‌های مختلف تنها به یک پارامتر (n) وابسته است و نیاز به جداسازی جریان‌های سریع و پایه چشممه طی دوره فروکش نیست و همچنین به دلیل سادگی ساختار مدل و زمان و محاسبات کمتر دارای ارجحیت می‌باشد. به عنوان پیشنهاد برای ادامه تحقیقات می‌توان مدل‌های مفهومی و فیزیکی دیگری را که اخیراً توسعه داده شده‌اند همچنین کارآیی مدل‌های جعبه سیاه بر روی چشممه مورد مطالعه مورد ارزیابی قرارداد.

قدرتانی و تشکر

نویسنده‌گان مقاله از جناب آقای دکتر غلامحسین کرمی (دانشکده زمین‌شناسی دانشگاه صنعتی شاهروド) به خاطر راهنمایی‌ها و کمک‌های بی‌دریغشان کمال تشکر را دارند.

منابع

- کرمی، غلامحسین؛ ۱۳۸۸، شماره پیاپی ۳۶، شماره اول، نقش چینه شناسی در توسعه کارست در حوضه آبگیر چشمۀ علی دامغان، پژوهش‌های چینه نگاری و رسوب‌شناسی، صص ۵۲-۳۹.
- امیدی، پرویز؛ نوگل سادات، میرعلی اکبر؛ قرشی، منوچهر؛ ۱۳۸۰، جایگاه نظام گسلی دامغان در پهنه برشی همگرای آستانه - عطاری، فصلنامه علوم زمین، سال دهم، شماره ۴۰-۳۹، صفحه ۸۰-۴۰، *Geosciences Scientific Quarterly Journal, ISSN 1023-7429*
- کرمی، غ. ۱۳۸۳ . بررسی هیدروژئولوژیکی و هیدروژئوژنیکی چشمۀ کارستی چشمۀ علی دامغان. طرح پژوهشی با کد ۲۱۰۷. دانشکده علوم زمین، دانشگاه صنعتی شاهروود، ص ۴۷
- شکری، محمد؛ اشجاری، جواد؛ کرمی، غلامحسین؛ ۱۳۹۰، تأثیر تکتونیک و چینه شناسی در جهت‌یابی جریان آب زیرزمینی در حوضه آبگیر چشمۀ علی دامغان، پانزدهمین همایش انجمن زمین‌شناسی ایران، ۹ صفحه راهنمای تهیه آبنمود چشمۀ های کارستی و سازندۀای سخت، ۱۳۸۴، گزارش وزارت نیرو، صفحه ۲۴
- شکری، محمد، دانشجوی کارشناسی ارشد زمین‌شناسی آب‌شناسی دانشگاه صنعتی شاهروود؛ کرمی، غلامحسین، دانشیار دانشکده علوم زمین دانشگاه صنعتی شاهروود، بررسی توسعه کارست در حوضه آبگیر چشمۀ علی دامغان با تلفیق مطالعات هیدروژئولوژیکی (*IS* و *GIS*)
- افراسیابیان، احمد(۱۳۷۲) مطالعات و تحقیقات منابع آب کارست در ایران، مجموعه مقالات دومین همایش جهانی منابع آب در سازندۀای کارستی، کرمانشاه- تهران، صص ۱۳۷-۱۲۶
- میلانوویچ، پتر، ت؛ ۱۹۸۱، هیدرولوژی کارست، ترجمه عبدالوحید آقسی با همکاری احمد افراسیابیان، انتشارات طرح تهیه استانداردهای مهندسی آب کشور، ۱۳۷۸، P۴۳۴
- شفیعی مطلق، خدارحم؛ لشکری پور، غلامرضا؛ ۱۳۸۷، هیدروژئولوژی چشمۀ کارستی کورسا، چهارمین همایش زمین‌شناسی و محیط‌زیست، ۸ صفحه
- جوکار سرهنگی، عیسی؛ غلامی، وحید؛ بردی، رحیم؛ مرادنژاد، آنا؛ ۱۳۸۸، مقایسه عوامل مؤثر در آب دهی چشمۀ های کارستی و آبرفتی (مطالعه موردی استان مازندران)، گزارش کوتاه علمی، مجله علوم کشاورزی و منابع طبیعی، جلد شانزدهم، شماره دوم
- کریمی وردنجانی، حسین؛ ۱۳۸۴، بررسی هیدروژئولوژیکی چشمۀ های کارستی موگرمن و سرآسیاب، مجموعه مقالات نهمین همایش انجمن زمین‌شناسی ایران
- خانلری، غلامرضا؛ مؤمنی، علی اکبر؛ ۱۳۹۱، ژئومورفوژئولوژی، هیدروژئولوژی و مطالعه فاکتورهای مؤثر بر توسعه کارست در منطقه گرین، غرب ایران، چهارمی و آمایش شهری- منطقه‌ای شماره ۳، صفحات ۷۴-۶۱
- شایگان، مهران؛ علی‌محمدی، عباس؛ روحانی، حامد؛ ۱۳۹۰، مدل‌سازی هیدروژئولوژیک حوضه طالقان در محیط با استفاده از مدل *SWAT*، سنجش از دور و *GIS* ایران سال سوم تابستان ۱۳۹۰ (پیاپی ۱۰)، صص ۱۸-۱
- ISSN 2008-5966 Iranian Journal of Remote Sencing & GIS*
- شهربازی، رضا، فیض نیا، سادات، ۱۳۹۰، تأثیر سازندۀای زمین‌شناسی بر کاهش کیفیت آب‌های سطحی و زیرزمینی در حوزه آبخیز کویر مرکزی ایران (مطالعه موردی: حوزه آبخیز چشمۀ علی دامغان)، شماره ۱، پژوهش‌های فرسایش محیط

- Atkinson, T.C., 1977, Diffuse flow and conduit flow in limestone terrain in the Mendip Hills, Somerset (Great Britain). J. Hydrol., Vol. 35, pp. 93-103.
- Bonacci O., 1987, Karst hydrogeology and water resource- past, present and future. Karst hydrodeology and water resource, IAHS publ. No. 164, pp. 205-213.
- Bonacci O., 1993, Karst spring hydrographs as indicators of karst aquifers. Hydrogeological sciences- journal, des science hydrologiques, Vol. 38, No. 1, pp. 51-62.

- Eisenlohr L., Kiraly L., Bouzelboudjen M., Rossier Y., 1997, **Numerical simulation as a tool for checking the interpretation of karst spring hydrographs**, Journal of Hydrology, Vol. 193, No. 1–4, pp. 306–315.
- Estrela, T., and Sahuquillo A., 1997, **Modeling the response of a karstic spring at Arteta aquifer in Spain**, Ground Water, Vol. 35, No. 1, pp. 18–24.
- Farlin J., and Maloszewski P., 2013, **On the use of spring baseflow recession for a more accurate parameterization of aquifer transit time distribution functions**, Hydrology and Earth System Sciences, Vol. 17, No. 5, pp.1825-1831.
- Ford, D., and Williams, P., 2007, **Karst Hydrogeology and Geomorphology**, Second edition.
- Guzha A.C., Hardy T.B., 2010, **Application of the Distributed Hydrological Model, TOPNET, to the big darby Creek watershed**, Ohio, USA, Water Resour Manage, Vol. 24, pp. 979-1003.
- Halihan T. , Wicks C. M. , Engeln J. F. , 1998, **Physical response of a karst drainage basin to flood pulses: Example of the Devil's Icebox cave system (Missouri, USA)**, Journal of Hydrology, Vol. 204, No. 1–4, pp. 24–36.
- Halihan T., and Wicks Carol M., 1998, **Modeling of storm responses in conduit flow aquifers with reservoirs**, Journal of Hydrology, Vol. 208, No. 1–2, pp. 82–91.
- Maillet, E., 1905, **Essais d'Hydraulique Souterraine et Fluviale**, Paperback: 280 pages, Publisher: Kessinger Publishing, LLC (February 6, 2009), Language: French
- Padilla .A, Pulido-Bosch .A, and Mangin. A, **Relative importance of baseflow and quickflow from hydrographs of karst spring**. Ground water, Vol. 32, No. 2, pp. 267–277.
- Raeisi, E., and Karami, G., 1997, **Hydrochemographs of Berghan Karst Spring as Indicators of Aquifer Characteristics**, Journal of Cave and Karst Studies, Vol. 59, No. 3, pp. 112-118.
- Rostamian R., Mousavi S.F., Heydarpour M., Afiuni M., and Abbaspour K., 2009, **Application of SWAT 2000 Model for Estimating Runoff and Sediment in Beheshtabad Watershed, a Sub-basin of Northern Karun**, Journal of Sciences and Technology of Agriculture and Natural Resources, Vol. 46, pp. 517-531 (persian).
- Soulios G., 1991, **Contribution a letude des courbes de recession des sources karstiques: Example du pays Hellenique**. Journal of Hydrol., Vol. 127, pp. 29-42.